



# БИООРГАНИЧЕСКАЯ ХИМИЯ

том 10 \* № 1 \* 1984

УДК 577.113.5

## ПЕРВИЧНАЯ СТРУКТУРА тРНК<sub>2</sub><sup>Leu</sup> МОЛОЧНОЙ ЖЕЛЕЗЫ КОРОВ. ОЛИГОНУКЛЕОТИДЫ Т<sub>1</sub>-РНКазного ГИДРОЛИЗАТА. РЕКОНСТРУКЦИЯ ПОЛНОЙ НУКЛЕОТИДНОЙ ПОСЛЕДОВАТЕЛЬНОСТИ\*

*Тукало М. А., Васильева И. Г., Мацукова Г. Х.*

*Институт молекулярной биологии и генетики Академии наук УССР, Киев*

*Власов В. Б.*

*Новосибирский институт органической химии Сибирского отделения  
Академии наук СССР*

Микроспектрофотометрическими методами определена последовательность оспований в олигонуклеотидах Т<sub>1</sub>-РНКазного гидролизата тРНК<sub>2</sub><sup>Leu</sup> молочной железы коров и проведена реконструкция нуклеотидной последовательности тРНК. Продукты гидролиза тРНК<sub>2</sub><sup>Leu</sup> Т<sub>1</sub>-РНКазой разделяли на микроколонках с DEAE-целлюлозой в 7 М мочевине при pH 7,5 с последующей рехроматографией при pH 3,7. Олигонуклеотиды идентифицировали по заряду, УФ-спектрам, составу и концевому анализу. Строение более сложных олигонуклеотидов изучали с использованием дополнительных методов: гидролиза пиримидил-РНКазой, U<sub>2</sub>-РНКазой и неполного гидролиза фосфодиэстеразой змеиного яда. На основании данных построению олигонуклеотидов Т<sub>1</sub>- и пиримидил-РНКазного гидролизатов и их перекрывающихся последовательностей реконструирована полная первичная структура тРНК<sub>2</sub><sup>Leu</sup>, которая подтверждается результатами, полученными методами быстрого гель-секвенирования.

Ранее нами было описано фракционирование лейциновых тРНК молочной железы коров и показано наличие шести изоакцепторных тРНК<sup>Leu</sup> в железе периода лактации [2, 3].

Данная статья посвящена описанию деталей исследования Т<sub>1</sub>-РНКазного гидролизата тРНК<sub>2</sub><sup>Leu</sup>, первичная структура которой была опубликована нами ранее [4]. тРНК<sub>2</sub><sup>Leu</sup> гидролизовали Т<sub>1</sub>-РНКазой и продукты гидролиза разделяли на микроколонках с DEAE-целлюлозой в 7 М мочевине при pH 7,5 с последующей рехроматографией при pH 3,7 с использованием оборудования для микроколоночной хроматографии и микроспектрофотометрической приставки МСФП-3, созданных в Новосибирском институте органической химии СО АН СССР [5]. На рис. 1 и 2 представлены результаты хроматографии и рехроматографии олигонуклеотидов исчерпывающего Т<sub>1</sub>-РНКазного гидролизата тРНК<sub>2</sub><sup>Leu</sup>. Как видно, большая часть олигонуклеотидов получена в индивидуальном состоянии в результате двух хроматографических разделений. Исключение представляют два тринуклеотида и два тетрануклеотида, которые были разделены на даунксе 1×2 в формиатной системе.

В Т<sub>1</sub>-РНКазном гидролизате были обнаружены Gr и m<sup>2</sup>Gr, пять динуклеотидов, четыре тринуклеотида, 3'-концевой фрагмент ACACCA, три тетрануклеотида и четыре других более длинных олигонуклеотида, самым длинным из которых был тридекануклеотид. Олигонуклеотиды идентифицировали по заряду, УФ-спектрам, составу. Таким образом, были идентифицированы моно- и динуклеотиды. Анализ строения более сложных олигонуклеотидов производился с использованием дополнительных методов. Структуру олигонуклеотидов Т-7 — Т-10 удалось установить, приме-

\* Предыдущее сообщение см. [1].

Определение последовательности оснований в олигонуклеотидах полного  
T<sub>1</sub>-РНКазного гидролизата  
тРНК<sub>2</sub><sup>Leu</sup>

Фракция	Олигонуклеотид	Метод расщепления	Продукты гидролиза, соотношение (моль/моль)
T-1	Cm <sub>2</sub> <sup>2</sup> Gp	ФДЭ, ФМЭ	C, m <sub>2</sub> <sup>2</sup> G (1,0:0,8)
T-3	m <sup>5</sup> CGp	То же	m <sup>5</sup> C <sup>2</sup> , G (1,0 : 1,0)
T-4	CGp	»	C, G (1,0 : 1,0)
T-5	AGp	»	A, G (0,9 : 1,0)
T-6	UGp	»	U, G (1,0 : 1,0)
T-7	CAGp	T <sub>2</sub> -РНКаза	Ap, Cp, Gp (1,0 : 1,0 : 1,0)
T-8	Cac <sup>4</sup> CGp	Концевой анализ ФДЭ, ФМЭ	C, ac <sup>4</sup> C, G (1,2 : 0,4 : 1,0)
T-9	CUGp	Концевой анализ ФДЭ, ФМЭ	C, U, G (1,0 : 1,0 : 1,0)
T-10	AUGp	Концевой анализ ФДЭ, ФМЭ	A, U, G (0,9 : 1,1 : 1,0)
T-11	ACACCAoh	Концевой анализ ФДЭ, ФМЭ T <sub>2</sub> -РНКаза	A, C (3,0 : 3,0) Ap, Cp (2,0 : 3,0)
T-12	UCAGp	Концевой анализ Пиримидил-РНКаза T <sub>2</sub> -РНКаза	A 2ACp, Cp Up, Cp, Ap, Gp (1,0 : 0,8 : 0,8 : 1,0) U
T-13	m <sup>1</sup> GNCGp	Пиримидил-РНКаза ФДЭ, ФМЭ	AGp, Up, Cp m <sup>1</sup> G, C, G (1,0 : 1,0 : 1,4)
T-14	TΨCGp	Пиримидил-РНКаза T <sub>2</sub> -РНКаза	m <sup>1</sup> GNp, Gp, Cp Tp, Ψp, Cp, Gp (1,0 : 1,0 : 0,9 : 1,1)
T-15	UmUCAGp	Концевой анализ T <sub>2</sub> -РНКаза	T UmUp, Cp, Ap, Gp (0,9 : 1,1 : 1,1 : 1,0) Um
T-16	DDCAAGp	Концевой анализ Пиримидил-РНКаза T <sub>2</sub> -РНКаза 0,1 н. KOH Пиримидил-РНКаза Неполный гидролиз ФДЭ	AGp, UmUp, Cp Cp, Ap, Gp (1,0 : 2,1 : 0,9) Dp Cp, AAGp DDCp
T-17	UmCΨCCCUGp	T <sub>2</sub> -РНКаза ФДЭ, ФМЭ Неполный гидролиз ФДЭ	Ψp, Cp, Up, Gp (0,8 : 3,0 : 1,0 : 1,0) UmCp C, U, Ψ, G (4,2 : 2,0 : 0,7 : 1,0) UmCΨ, UmCΨC, UmCΨCC, UmCΨCCC, UmCΨCCCCU
T-18	m <sup>1</sup> AAUCCCACUUUCUGp	T <sub>2</sub> -РНКаза ФДЭ, ФМЭ Пиримидил-РНКаза U <sub>2</sub> -РНКаза	Cp, Up, Ap, Gp (4,5 : 3,8 : 2,0 : 1,0) C, U, A, m <sup>6</sup> A, G (4,8 : 3,7 : 2,2 : 0,7 : 1,0) m <sup>1</sup> AAUp, ACp, 4Cp, 3Up, Gp UCCCCAp, CUUCUGp

нив дополнительно концевой анализ. Остальные нуклеотиды исследовали с использованием гидролиза пиримидил-РНКазой, U<sub>2</sub>-РНКазой и неполного гидролиза ФДЭ змеиного яда (ФДЭ). Результаты анализа строения олигонуклеотидов T<sub>1</sub>-РНКазного гидролизата тРНК<sub>2</sub><sup>Leu</sup> представлены в таблице. Ниже изложены детали определения структуры ряда олигонуклеотидов.

**Пик T-2 (Gp и m<sup>2</sup>Gp).** Смесь разделяли на колонке с дауэксом AG 1×8 в хлоридной системе и установили негомогенность пика гуаниловой кислоты. Поэтому в дальнейших экспериментах смесь обессоливали, гидролизовали фосфомоноэстеразой (ФМЭ) и разделяли на аминексе А-6, где

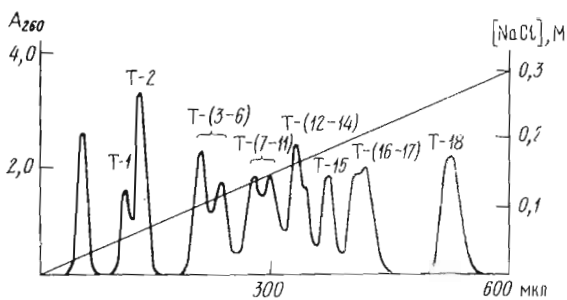


Рис. 1. Хроматография  $T_1$ -РНКазного гидролизата  $t\text{RNK}_2^{\text{Leu}}$  (0,3 ОЕ<sub>260</sub>) из молочной железы коров на DEAE-целлюлозе в 7 М мочевине при pH 7,5, колонка 0,5×60 мм, скорость элюции 75 мкл/ч. Т-1, Т-2, Т-(3-6) и т. д.— обозначения объединенных фракций, подвергнутых рехроматографии

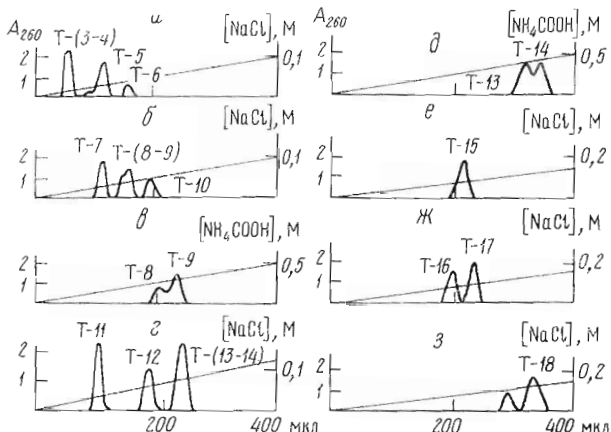


Рис. 2. Рехроматография олигонуклеотидов  $T_1$ -РНКазного гидролизата  $t\text{RNK}_2^{\text{Leu}}$  молочной железы коров. а, б, г, е, ж – рехроматография фракций Т-(3-6), Т-(7-11), Т-15, Т-(16-17) и Т-18 соответственно на DEAE-целлюлозе в 7 М мочевине при pH 3,7, колонка 0,5×40 мм, скорость элюции 75 мкл/ч; в и ж – повторная рехроматография олигонуклеотидов Т-(9-10) и Т-(13-14) на дауэксе 1×2 в формиатной системе, колонка 0,5×150 мм, скорость элюции 75 мкл/ч

по УФ-спектрам и подвижности были идентифицированы гуанозин и N<sup>2</sup>-метилгуанозин.

**Пики Т-8 ( $\text{Cac}^4\text{CGp}$ ) и Т-9 ( $\text{CUGp}$ ).** Эти два тринуклеотида не разделяются при рехроматографии на DEAE-целлюлозе при pH 3,7, что указывает на их близкий состав. При гидролизе олигонуклеотидного материала из пика Т-8  $T_2$ -РНКазой были обнаружены нуклеотиды Cp, Up, ac<sup>4</sup>Cp и Gp в мольных соотношениях 2:1:1:2, что говорит о присутствии в смеси двух тринуклеотидов. Предположение подтвердилось после разделения этих тринуклеотидов на дауэксе 1×2 в формиатной системе и определения нуклеозидного состава индивидуальных тринуклеотидов. Для CUGp—C:U:G=1,0:1,0:1,0 и для  $\text{Cac}^4\text{CGp}$ —C:ac<sup>4</sup>C:G=1,15:0,4:1,0. Малое количество ac<sup>4</sup>C можно объяснить отщеплением ацетильной группы в щелочной среде. Концевым анализом было установлено, что на 5'-концах обоих тринуклеотидов находится цитидин. Таким образом, структура олигонуклеотидов Т-8 и Т-9 –  $\text{Cac}^4\text{CGp}$  и  $\text{CUGp}$  соответственно.

**Пик Т-11 ( $\text{ACACCAoh}$ ).** Определение нуклеотидного состава олигонуклеотида, соответствующего пику Т-11, дало адениловую и цитидиловую кислоту в мольном соотношении 2,0:3,0, а определение нуклеозидного состава гидролизом ФДЭ в присутствии ФМЭ – аденоzin и цитидип в мольном соотношении 1,0–1,0 (или 3,0:3,0). Отсутствие гуанозина в составе олигонуклеотида свидетельствует о том, что этот олигонуклеотид является 3'-концевым в молекуле tRNK<sup>e1</sup>. Несоответствие в количестве адениловых остатков при анализе нуклеозидов и нуклесидов олигонуклеотида Т-11 может указывать на то, что на 3'-конце этого нуклеотида находится

аденозин. Гидролиз панкреатической РНКазой дал мононуклеотид Ср и динуклеотид АСр. Уже на основании этих данных и знания универсальности строения акцепторного конца ССАоh можно предположить, что структура олигонуклеотида — АСАССАоh. Полученные данные по концевому анализу показали, что на 5'-конце олигонуклеотида Т-11 находится аденоzin; следовательно, предложенная структура является единственно возможной.

*Пик T-13 ( $m^1GNCGp$ ).* После гидролиза олигонуклеотида Т-13 ФДЭ и ФМЭ с последующей хроматографией на аминексе А-6 были идентифицированы нуклеотиды  $m^1G$ , G и С в мольных соотношениях 1,0 : 1,38 : 1,0. Гидролиз панкреатической РНКазой дал мононуклеотиды Ср и Gp и динуклеотид  $m^1GNp$ . Из этих данных логично вывести предварительную структуру ( $m^1GN$ ), С, Gp. Попытки определить концевой нуклеозид были неудачны, что связано с наличием в структуре олигонуклеотида двух миных компонентов. Поэтому для выяснения остающегося неясным взаимного расположения  $m^1GNp$  и Ср мы воспользовались знанием структуры олигонуклеотида из пириимидал-РНКазного гидролизата AGm<sup>1</sup>GNp, содержащего в своей структуре динуклеотид  $m^1GNp$ . Сопоставление этих данных указывает на то, что структура олигонуклеотида Т-13 —  $m^1GNCGp$ .

*Пик T-15 (UmUCAGp).* При гидролизе пика Т-15 Т<sub>2</sub>-РНКазой с последующим разделением продуктов гидролиза на колонке с дауэксом AG 1×8 были идентифицированы 2'(3')-фосфаты цитидина, аденоzина и гуанозина и динуклеотид UmUp в мольных соотношениях 1,1 : 1,1 : 1,0 : 0,9. В результате гидролиза пентануклеотида Т-15 пириимидал-РНКазой были получены 2'(3')-фосфат цитидина и два нуклеотида — AGp и UmUp. Из данных по концевому анализу следует, что на 5'-конце олигонуклеотида находится уридин. Таким образом, структура пентануклеотида — UmUCAGp.

*Пик T-16 (DDCAAGp).* Для определения состава пика Т-16 олигонуклеотид подвергали Т<sub>2</sub>-РНКазному гидролизу с последующей хроматографией продуктов на колонке с дауэксом AG 1×8 в хлоридной системе. Идентификация пиков по положению на хроматограмме и спектральным данным показала наличие нуклеотидов Ср, Ар и Gp в мольных соотношениях 1,0 : 2,1 : 0,9. Таким образом, состав пика не соответствует месту элюции олигонуклеотида с DEAE-целлюлозной колонки при pH 7,5, так как он элюируется в области, соответствующей гексануклеотидам. Это может быть объяснено наличием в олигонуклеотиде двух остатков дигидроуридина. Действительно, дигидроуридин был идентифицирован в составе даенного олигонуклеотида по специальному уменьшению поглощения при 235 нм после добавления щелочи. При гидролизе олигонуклеотида Т-16 панкреатической РНКазой получали 2'(3')-фосфат цитидина и тринуклеотид ArArGp при идентификации по УФ-спектрам и хроматографической подвижности. Следовательно, предварительную структуру олигонуклеотида пика Т-16 можно записать в виде (D, DC)AAGp. Окончательную структуру удалось установить при помощи метода неполного гидролиза ФДЭ змеиного яда, где среди продуктов по УФ-спектрам и подвижности, был идентифицирован тринуклеотид DDCp, а динуклеотид по УФ-спектрам не обнаружили, что указывает на расположение пары DDp на 5'-конце гексануклеотида.

*Пик T-17 (UmCΨCCCUGp).* В результате гидролиза пика Т-17 Т<sub>2</sub>-РНКазой получили 2'(3')-фосфаты цитидина, дигидроуридина, уридина и гуанозина в мольных соотношениях 3,0 : 0,8 : 1,0 : 1,0 и динуклеотид UmCr. Нуклеозидный состав олигонуклеотида — G, С, U, Ψ (1 : 4,2 : 2 : 0,74). Последовательность нуклеотидов в данном олигонуклеотиде удалось установить методом неполного гидролиза ФДЭ. Были получены все продукты экзонуклеазной деградации олигонуклеотида Т-17, нуклеозидный анализ которых дал его однозначную структуру — UmCΨCCCUGp.

*Пик T-18 ( $m^1AAUCCCCACUUUCUGp$ ).* Исследование нуклеотидного состава этого олигонуклеотида показало наличие нуклеотидов Gp, Ср, Up и Ar в мольных соотношениях 1,0 : 4,5 : 3,8 : 2,0. Нуклеозидный анализ дал G, С, U, A и  $m^6A$  в мольных соотношениях 1,0 : 4,8 : 3,7 : 2,2 : 0,7. Сопоставление этих результатов дает возможность сделать следующее заключение

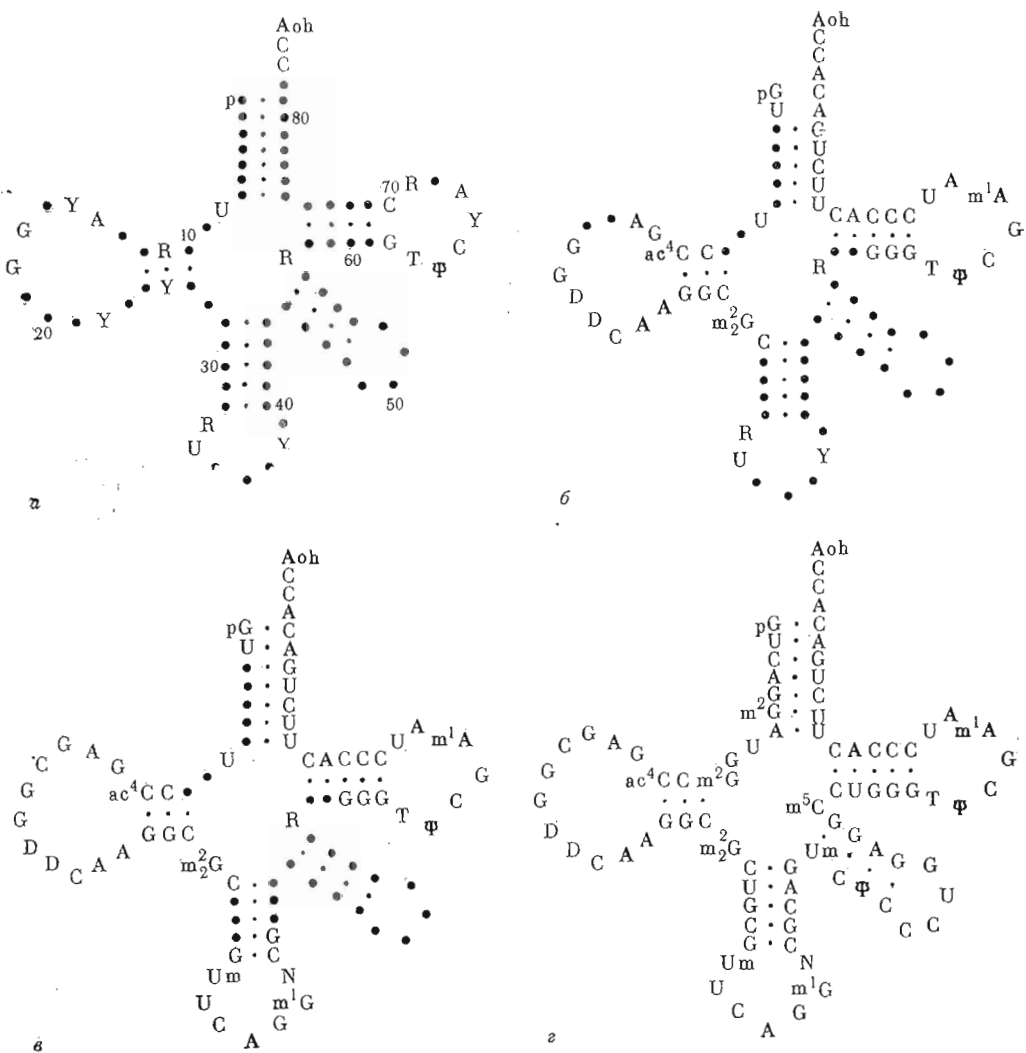


Рис. 3. Реконструкция первичной структуры тРНК<sub>Leu</sub> (объяснения в тексте): *a* - обобщенная структура тРНК с инвариантными и полувариабельными нуклеотидами, *b* - расстановка олигонуклеотидов, содержащих миорные основания, *c* - реконструкция антикодоновой петли тРНК<sub>Leu</sub>, R - пурины, Y - пириимины

о составе олигонуклеотида пика Т-18: G, 5C, 4U, 2A, m<sup>1</sup>A. Наличие в смеси нуклеозида m<sup>6</sup>A объясняется миграцией метильной группы в условиях проведения гидролиза и хроматографии. Гидролиз панкреатической РНКазой дал 2'(3')-фосфаты цитидина и уридинина, динуклеотид АСр и тринуклеотид m<sup>1</sup>AAUp. Последний, как отмечается для олигонуклеотидов, содержащих метильные группы, имеет большую подвижность, чем соответствующие по длине аналоги. При хроматографии продуктов пириимидил-РНКазного гидролиза олигонуклеотида Т-18 на DEAE-целлюлозе в 7 М мочевине при pH 7,5 m<sup>1</sup>AAUp занимает позицию, предшествующую динуклеотиду АСр. Тринуклеотид m<sup>1</sup>AAUp должен занимать 5'-положение в олигонуклеотиде Т-18, так как иначе нельзя объяснить положение N<sup>1</sup>-метиладенозина в тетрануклеотиде Р-7 из пириимидил-РНКазного гидролизата тРНК<sub>Leu</sub>. Окончательную информацию о структуре тридекануклеотида получили после гидролиза его U<sub>2</sub>-РНКазой, в результате которого образовались два больших фрагмента. Первый из них имеет в своем составе нуклеотиды Ср, Ар и Up в мольных соотношениях 2,5 : 1,0 : 1,1, второй — Gp, Up и Ср в мольных соотношениях 0,7 : 3,0 : 2,2. Наличие Gp в составе второго фрагмента указывает на его 3'-концевое положение в со-

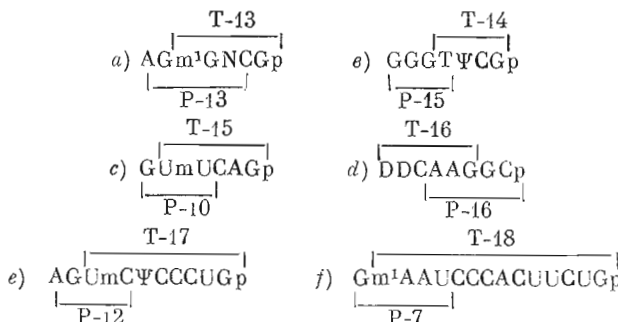
ставе тридекануклеотида. Концевой анализ первого фрагмента указывает на расположение уридуна на его 5'-конце. Этого достаточно для выведения окончательной структуры UCCCAp. Концевой анализ второго фрагмента дал на 5'-конце цитидин. Полная структура фрагмента (CUUCUGp) была установлена на основании данных неполного гидролиза ФДЭ, в результате которого были получены продукты: CU, CUU, CUUC, CUUCU. Поскольку тринуклеотид m<sup>1</sup>AAUp занимает 5'-концевое положение в тридекануклеотиде, а второй фрагмент U<sub>2</sub>-РНКазного гидролиза CUUCUGp – 3'-концевое положение, полная структура олигонуклеотида T-18 будет иметь следующий вид: m<sup>1</sup>AAUCCCACUUCUGp.

*Реконструкция нуклеотидной последовательности tRNK<sub>2</sub><sup>Leu</sup>.* При реконструкции первичной структуры tRNK<sub>2</sub><sup>Leu</sup> руководствовались: 1) данными по общим для всех тРНК нуклеотидам и особенностям размещения минорных компонентов в цепи тРНК; 2) данными по строению олигонуклеотидов T<sub>1</sub>- и пиримидил-РНКазного гидролизата тRNK<sub>2</sub><sup>Leu</sup> и их перекрывающихся последовательностей; 3) результатами гидролиза тRNK<sub>2</sub><sup>Leu</sup> S<sub>1</sub>-нуклеазой. Дополнительную проверку правильности реконструкции первичной структуры проводили методом быстрого гель-секвенирования <sup>32</sup>P-меченой тРНК.

Возможны несколько путей логического построения первичной структуры тRNK<sub>2</sub><sup>Leu</sup>, которые приводят к одинаковой нуклеотидной последовательности. Здесь мы рассматриваем одну из таких возможностей.

Мы исходили из знания обобщенной Г. Дирхаймером [6] первичной структуры тРНК в виде клеверного листа (рис. 3a), имеющей несколько постоянных и ряд полувариабельных нуклеотидов. Олигонуклеотиды pGUp и ACACCAoh занимают соответственно 5'- и 3'-концевые положения тRNK<sub>2</sub><sup>Leu</sup>. Это объясняется тем, что первый является единственным олигонуклеотидом пиримидил-РНКазного гидролизата с 5'-концевым фосфатом, а второй – единственным олигонуклеотидом T<sub>1</sub>-РНКазного гидролизата, который не содержит Gp.

Далее мы воспользовались наличием определенных перекрывающихся последовательностей между олигонуклеотидами пиримидил-РНКазного [1] и T<sub>1</sub>-РНКазного гидролизатов (схема)



При расстановке ряда блоков руководствовались особенностями размещения некоторых минорных компонентов в структуре тРНК. Как известно, минорные компоненты тимидин, 1-метиладенозин и тавдем DD имеют во всех тРНК определенное размещение, поэтому блоки b, d и f, в состав которых входят эти минорные компоненты, заняли соответствующие места в структуре. Учитывалось также, что 4-ацетилцитидин в сериновых и лейциновых тРНК располагается в D-стебле, а m<sup>2</sup>G – в изгибе D- и акцепторного стебля (рис. 3, б).

Олигонуклеотид P-11 (GAGCp) занимает позиции 13–16 как единственный тетрануклеотид в пиримидил-РНКазном гидролизате, содержащий на 5'-конце динуклеотид GAp (рис. 3e). Важную информацию для реконструкции структуры получили при гидролизе тRNK<sub>2</sub><sup>Leu</sup> S<sub>1</sub>-нуклеазой в условиях, при которых затрагиваются только экспонированные участки,

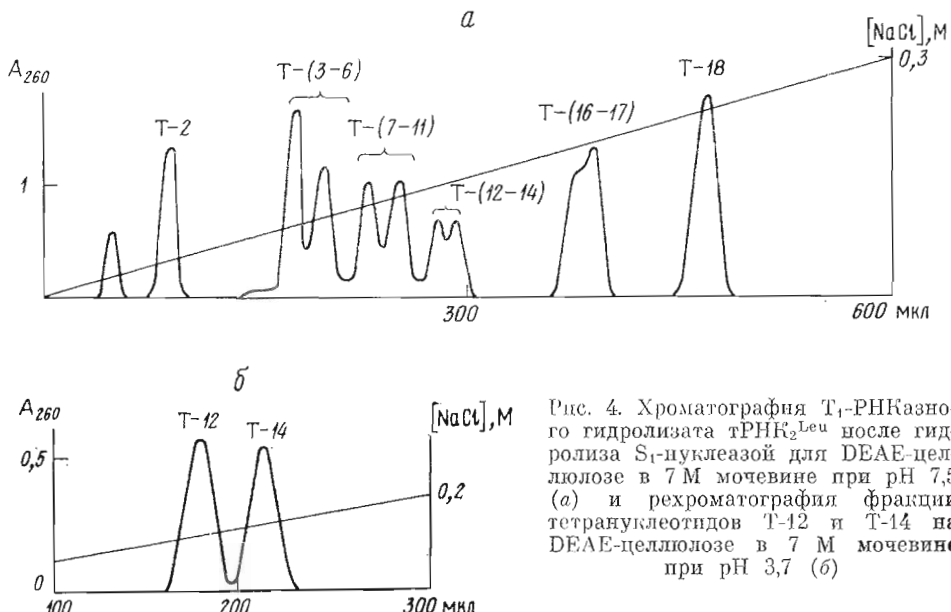


Рис. 4. Хроматография  $T_1$ -РНКазного гидролизата  $tRNA_2^{Leu}$  после гидролиза  $S_1$ -нуклеазой для DEAE-целлюлозе в 7 М мочевине при рН 7,5 (а) и рхроматография фракции тетрануклеотидов Т-12 и Т-14 на DEAE-целлюлозе в 7 М мочевине при рН 3,7 (б)

и последующего гидролиза  $T_1$ -РНКазой. Анализ  $T_1$ -РНКазного гидролизата  $tRNA_2^{Leu}$  после гидролиза  $S_1$ -нуклеазой показал исчезновение пиков, соответствующих олигонуклеотидам Т-13 и Т-15 (рис. 4). Исчезает также олигонуклеотид Т-11. Так как Т-11 является олигонуклеотидом акцепторного конца ( $ACACCAoh$ ), то Т-13 ( $m^1GNCp$ ) и Т-15 ( $UmUCAGp$ ) должны входить в состав наиболее четко экспонированной антикодоновой петли. Причем запись кодонов для лейцина позволяет считать, что нуклеотид Ап из олигонуклеотида Т-15 должен занимать позицию 36. С 5'-конца с данной последовательностью перекрывается олигонуклеотид Р-10 (рис. 3 $\sigma$ ), что позволяет реконструировать большую часть антикодоновой петли.

После того как позиции 31–40 заполнены, блок  $e$  (схема) можно разместить только в вариабельной петле. Осталось расставить два длинных олигонуклеотида пиримидил-РНКазного гидролизата Р-17 ( $AGm^2GAUp$ ) и Р-18 ( $GGAGGm^5Cp$ ). Олигонуклеотид Р-18 (исходя из длины) можно разместить только в вариабельной петле, тогда Р-17 занимает позиции 4–8 в акцепторном стебле (рис. 3 $\sigma$ ). Из двух олигонуклеотидов  $T_1$ -гидролизата, имеющих перекрывание с олигонуклеотидом Р-17, CAGp (Т-7) и UCAGp (Т-12), только последний (Т-12) может быть размещен в акцепторном стебле. Тринуклеотид CAGp (Т-7) тогда будет удлинять перекрывание, образованное олигонуклеотидами Р-12 и Р-17. Позиции 28–30 в антикодоновом стебле занимает тринуклеотид CUGp, а оставшиеся позиции 9–11, 30–31 и 59–60 – тринуклеотид  $Gm^2GCP$  и динуклеотиды GCP и UGP (рис. 3 $\sigma$ ).

Полученная структура  $tRNA_2^{Leu}$  отвечает принципу образования максимального количества комплементарных пар нуклеотидов. Дополнительно мы предприняли проверку установленной первичной структуры лейциновой  $tRNA_2^{Leu}$  из молочной железы коров независимым методом быстрого гель-секвенирования  $^{32}P$ -меченной по 3'-концу тРНК.

Специфическую деградацию меченой тРНК проводили  $T_1$ - и  $U_2$ -РНКазами (данные не приведены), а также химическими агентами по Д. Питти [7, 8]. Результаты эксперимента представлены в виде авторадиограммы на рис. 5. В этом случае расстановка олигонуклеотидов  $T_1$ -РНКазного гидролиза вдоль полинуклеотидной цепи не составляет труда. Кроме того, легко расставить некоторые олигонуклеотиды пиримидил-РНКазного гидролизата ( $GGAGGm^5C$ ,  $GGGT$  и др.). Результаты электрофореза  $^{32}P$ -меченых фрагментов  $tRNA_2^{Leu}$  показывают, что олигонуклеотиды  $T_1$ -РНКазного гидролиза Т-18, Т-17, Т-15, расположение которых очень существенно при логическом построении нуклеотидной последовательности  $tRNA_2^{Leu}$ ,

занимают те же позиции, что и в реконструированной пами первичной структуре. Это же относится и ко всем остальным олигонуклеотидам  $T_1$ -тРНКазного гидролиза. Кроме того, данные по специфической деградации тРНК<sub>2</sub><sup>Leu</sup> химическими агентами, представленные на рис. 5, подтверждают такую нуклеотидную последовательность. Таким образом, первичная структура тРНК<sub>2</sub><sup>Leu</sup>, установленная на основании данных ультрамикроспектрофотометрического анализа олигонуклеотидов  $T_1$ - и пиридинил-тРНКазного гидролизатов тРНК и некоторых дополнительных данных по  $S_1$ -нуклеазному гидролизу тРНК, является правильной.

Установление нуклеотидной последовательности тРНК<sub>2</sub><sup>Leu</sup> показало, что с помощью микроспектрофотометрических методов можно решать любые структурные задачи. Для работы по расшифровке структуры тРНК<sub>2</sub><sup>Leu</sup>, включая отработку микроспектрофотометрических методов, потребовалось 10 ОЕ тРНК. Дальнейшее повышение чувствительности и детектора позволит снизить количество тРНК, необходимое для анализа, еще на один-два порядка. Созданный недавно в КБ Новосибирского института органической химии СО АН СССР усовершенствованный вариант микроспектрофотометра серии «Объ» уже позволяет уменьшить исходное количество вещества в 6–8 раз. В настоящее время при расшифровке первичных структур тРНК мы используем преимущества микроспектрофотометрических методов при идентификации миорных компонентов и в получении количественных данных и методов быстрого гель-секвенирования, где требуется малое количество материала и времени. Комплексное использование двух подходов при расшифровке структуры тРНК позволит исходить из 0,5 ОЕ (10–20 мкг) полинуклеотида. Такое количество материала вполне доступно при изучении РНК высших организмов.

### Экспериментальная часть

**Выделение тРНК<sub>2</sub><sup>Leu</sup>.** Препарат индивидуальной тРНК<sub>2</sub><sup>Leu</sup> выделяли из суммарной тРНК лактирующей молочной железы коров методами, описанными пами ранее [3].

**Реактивы и ферменты:** [ $\gamma$ -<sup>32</sup>P]ATP (Amersham, Англия) уд. акт. 2000–3000 Ки/ммоль; нуклеозиды  $m^1A$ ,  $m^6A$ ,  $m^1G$ ,  $m^2G$ ,  $m^7G$ ,  $m^3C$ ,  $m^5C$ , Т,  $\Psi$  и I (любезно предоставлены Т. В. Венкстерн, ИМБ АН СССР, Москва); DEAE-целлюлоза 23SS (Serva, ФРГ), емкость 0,6 мг-экв/г; дауэкс 1×2 (Serva, ФРГ) для микроколонок с размером зерен 10–30 мкм получали фракционированием в аппарате Гамильтона [9]; дауэкс AG 1×8, AG 50×4, аминекс A-6, A-7, A-28 (Bio-Rad, США); акриламид и бисакриламид (Sigma, США); мочевина квалификации ос. ч. (7 М раствор мочевины дополнительно очищали на колонке с DEAE-целлюлозой); панкреатическая

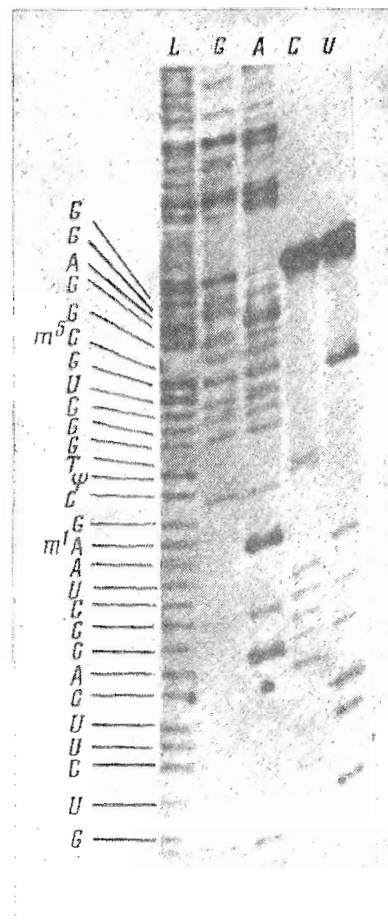


Рис. 5. Авторадиограмма гель-секвенирования 3'-<sup>32</sup>P-меченой тРНК<sub>2</sub><sup>Leu</sup> из молочной железы коров с использованием метода специфической химической деградации по Д. Питти в 12% ПААГ. L – статистический разрыв тРНК в 10% пиридине

РНКаза (КФ 3.1.27.5; Worthington, США);  $T_1$ -РНК и  $T_2$ -РНКаза (КФ 3.1.27.3, КФ 3.1.27.1, Sankyo Co., Япония); щелочная фосфатаза из *E. coli* (ФМЭ) (КФ 3.1.3.1) и ФДЭ изменного яда (КФ 3.1.4.1) — фирмы Worthington (США); нуклеаза  $S_1$  (КФ 3.1.30.1) — препарат СКТБ БАВ (Новосибирск).

Гидролиз тРНК  $T_1$ -РНКазой проводили в течение 13 ч в 0,02 М трис-HCl-буфере, pH 7,5, при 37°С. В пробу объемом 30 мкл вносили тРНК и  $T_1$ -РНКазу из расчета 0,4 ед. акт. фермента на 1 ОЕ<sub>260</sub> тРНК.

Гидролиз олигонуклеотидов пиримидил-РНКазой. Обессоленные олигонуклеотиды  $T_1$ -РНКазного гидролизата тРНК<sub>2</sub> расщепляли в течение 3 ч пиримидил-РНКазой в 0,01 М трис-HCl-буфере, pH 7,5, при 37°С. В 30 мкл реакционной смеси содержалось 0,02—0,05 ОЕ<sub>260</sub> олигонуклеотида и 0,1 мкг пиримидил-РНКазы.

Гидролиз тРНК  $S_1$ -нуклеазой проводили в условиях стабильности третичной структуры тРНК, как описано ранее [10]. Продукты полного  $T_1$ -РНКазного расщепления разделяли на микроколонках с DEAE-целлюлозой при pH 7,5 в 7 М мочевине и рехроматографировали на DEAE-целлюлозе при pH 3,7 [11] или на дауэксе 1×2 в форматной системе [12].

Нуклеотидный состав олигонуклеотидов определяли с помощью гидролиза  $T_2$ -РНКазой и хроматографии на дауэксе AG 1×8 в хлоридной системе [13]. Состав нуклеозидов определяли посредством гидролиза ФДЭ с ФМЭ с последующей хроматографией на катионообменнике аминекс А-6 [11].

Методические подробности изучения структуры олигонуклеотидов изложены в предыдущей статье [1].

В качестве детектора использовали микроспектрофотометрическую приставку к СФ-4 [4], созданную в Новосибирском институте органической химии СО АН СССР. Оптическую плотность элюатов регистрировали при 250, 260, 270, 280, 290 нм. <sup>32</sup>P-тРНК получали, присоединяя <sup>32</sup>pСр к 3'-концу тРНК с помощью РНК-лигазы [14]. Специфическую деградацию меченой тРНК проводили  $T_1$ - и  $U_2$ -РНКазами [7]. Специфическую химическую деградацию проводили по Д. Питти [8].

Электрофорез полученных фрагментов осуществляли в 12,5 или 15% полиакриламидном геле (0,04×30×60 см) в 50 мМ трис-бортном буфере, pH 8,3, содержащем 1 мМ EDTA и 8,5 М мочевину.

Авторадиографию проводили при -40°С.

Мы приносим глубокую благодарность акад. Д. Г. Кнорре за постоянную поддержку и внимание к работе.

#### ЛИТЕРАТУРА

1. Тукало М. А., Васильева И. Г., Мацука Г. Х., Власов В. В. Биооргап. химия, 1984, т. 10, № 1, с. 50–57.
2. Мацука Г. Х., Ельская А. В., Коваленко М. И., Корнелюк А. И. Транспортные рибонуклеиновые кислоты. Киев: Наукова думка, 1979, 219 с.
3. Коваленко М. И., Желтоская Н. И., Ельская А. В., Тукало М. А., Мацука Г. Х. В кн.: Методы молекулярной биологии. Киев: Наукова думка, 1979, с. 98–110.
4. Тукало М. А., Власов В. В., Васильченко И. Г., Мацука Г. Х., Кнорре Д. Г. Докл. АН СССР, 1980, т. 253, № 1, с. 253–256.
5. Грачев М. А. В кн.: Ультрамикроанализ нуклеиновых кислот. М.: Наука, 1973, с. 104–122.
6. Dirheimer G., Keith G. In: Synthesis, structure and chemistry of transfer ribonucleic acids and their components. Poznan, 1976, p. 273–290.
7. Donis-Keller H., Maxam A. M., Gilbert W. Nucl. Acids Res., 1977, v. 4, № 8, p. 2527–2538.
8. Peattie D. A. Proc. Nat. Acad. Sci. USA, 1979, v. 76, № 4, p. 1760–1764.
9. Hamilton P. B. Anal. Chem., 1958, v. 30, № 5, p. 914–919.
10. Harada J., Dahlberg J. E. Nucl. Acids Res., 1975, v. 2, № 6, p. 865–871.
11. Тукало М. А., Васильченко И. Г., Власов В. В. В кн.: Методы молекулярной биологии. Киев: Наукова думка, 1979, с. 111–126.
12. Аксельрод В. Д., Венкстерн Т. В., Баев А. А. Биохимия, 1965, т. 30, № 5, с. 999–1004.
13. Власов В. В., Меламед Н. В., Чижиков В. Е., Тукало М. А. Биооргап. химия, 1976, т. 2, № 6, с. 892–897.
14. Bruce A. G., Uhlenbeck O. C. Nucl. Acids Res., 1978, v. 5, № 10, p. 3665–3677.

Поступила в редакцию 19.IV.1983  
После доработки 29.VI.1983

THE PRIMARY STRUCTURE OF tRNA<sub>2</sub><sup>Leu</sup> FROM COW MAMMARY GLAND.  
OLIGONUCLEOTIDES OF T<sub>1</sub> RNASE DIGEST. THE RECONSTRUCTION  
OF THE TOTAL NUCLEOTIDE SEQUENCE

TUKALO M. A., VASIL'EVA I. G., MATSUKA G. Kh., VLASSOV V. V.

*Institute of Molecular Biology and Genetics, Academy of Sciences  
of the Ukrainian SSR, Kiev; Institute of Organic Chemistry,  
Siberian Branch of the Academy of Sciences of the USSR, Novosibirsk*

The oligonucleotides obtained by digestion of tRNA<sub>2</sub><sup>Leu</sup> from cow mammary gland with T<sub>1</sub> RNase were separated by micro-column chromatography on DEAE-cellulose in 7 M urea at pH 7,5 and 3,7, and in addition on Dowex 1×2. The digest consisted of 18 individual components, the larger being a tridecanucleotide. Micro-column chromatography of nucleotides on anion-exchanger AG 1×8 and nucleosides on Aminex A-6 was used to determine the base composition of the oligonucleotides. The oligonucleotide structure was established using terminal analysis, hydrolysis by pancreatic and U<sub>2</sub>-RNases and incomplete hydrolysis by snake venom phosphodiesterases. The total primary structure of tRNA<sub>2</sub><sup>Leu</sup> was derived from overlapping fragments isolated after its complete hydrolysis with pancreatic and T<sub>1</sub> RNase and using data obtained on S<sub>1</sub>-nuclease digestion of tRNA. The methods of rapid gel-sequencing were also employed for checking the nucleotide sequence of tRNA<sub>2</sub><sup>Leu</sup> from cow mammary gland.